文章编号:1004-2474(2019)02-0170-03

X波段 FBAR 用 AIN 薄膜制备研究

彭华东,徐阳,张永川,杜波,司美菊,蒋 欣,赵 明

(中国电子科技集团公司第二十六研究所, 重庆 400060)

摘 要:采用中频磁控溅射法,在硅基上制备了 X 波段薄膜体声波谐振器(FBAR)滤波器用 AlN 压电薄膜。对 AlN 薄膜进行了分析表征,结果表明,AlN 压电薄膜具有良好的(002)面择优取向,摇摆曲线半峰宽为 2.21°,膜厚均匀性优于 0.5%,薄膜应力为一5.02 MPa,应力可在张应力和压应力间进行调节。将该 AlN 薄膜制备工艺应用于 FBAR 器件的制作,研制出 X 波段 FBAR 器件,谐振频率为 9.09 GHz,插入损耗为一0.38 dB。

关键词: AIN; 压电薄膜; 中频磁控溅射; 薄膜应力; 薄膜体声波谐振器(FBAR)

中图分类号:TN65

文献标识码:A

DOI:10. 11977/j. issn. 1004-2474. 2019. 02. 002

Preparation of AIN Films for X Band FBAR Devices

PENG Huadong, XU Yang, ZHANG Yongchuan, DU Bo, SI Meiju, JIANG Xin, ZHAO Ming

(The 26th Research Institute of China Electronics Technology Group Corporation, Chongqing 400060, China)

Abstract: The aluminum nitride (AlN) films for X band film bulk acoustic resonator (FBAR) devices were grown by mid frequency magnetron sputtering on silicon substrates. The AlN films were analyzed and characterized. The results show that the AlN films have preferred orientations of (002), the full width at half maximum of the rocking curve is 2.21°. The thickness uniformity of AlN films is less than 0.5%. The film stress is -5.02 MPa, and the stress can be adjusted between tensile and compressive stress. The FBAR devices were fabricated by using this AlN film preparation process, and X-band FBAR devices with the resonator frequency of 9.09 GHz and insertion loss of -0.38 dB have been developed.

Key words: aluminum nitride; piezoelectric film; mid frequency magnetron sputtering; stress of thin film; film bulk acoustic resonator(FBAR)

0 引言

与声表面波滤波器、介质滤波器及低温共烧陶瓷(LTCC)滤波器等相比,薄膜体声波谐振器(FBAR)滤波器同时具有小体积和高性能的优势,其制作工艺还能与 CMOS 工艺兼容[1]。FBAR 是满足射频前端高性能、小型化和集成化的最佳途径之一。目前,FBAR 滤波器已广泛应用于移动通信市场[2-3]。

FBAR 是一种利用声学谐振实现电学选频的新型器件,通过底电极和顶电极间压电薄膜在垂直方向的谐振进行选频,具有插入损耗小,矩形度好,体积小,可靠性高等优点。FBAR 空气腔结构是目前最成功的产品结构^[4],由于换能器的上、下部均为空气,当声学信号传输到顶电极上端和底电极底端时,

声阻抗的巨大差异会造成声波的全反射,声能量集中在亚微米量级的声学层区域里。该空气腔结构的声泄露很小,可实现 FBAR 器件的高品质因数值。AlN 压电薄膜具有高压电耦合系数和高声速等优点,成为 FBAR 滤波器首选的压电薄膜,是 FBAR 滤波器的核心材料,其质量直接影响 FBAR 滤波器的频率、品质因数及插入损耗等关键性能指标。采用金属有机化合物气相沉积[5]、脉冲激光沉积[6]和磁控溅射[7]等方法可制作 AlN 压电薄膜。其中,磁控溅射法因薄膜淀积易控制、薄膜应力小及膜厚均匀性好等优点,成为 FBAR 用 AlN 薄膜最佳制作方法。

X 波段 FBAR 器件频率为 $8\sim12$ GHz, AlN 压电薄膜厚 $150\sim200$ nm,制备优质超薄的 AlN 薄膜

收稿日期:2018-11-10

基金项目:国防基础科研计划基金资助项目(JCKY2016210B010)

作者简介:彭华东(1974-),男,四川巴中人,高级工程师,主要从事半导体设备及工艺的研究。

较难。目前, X 波段 FBAR 器件用较薄的 AlN 压电薄膜还未见报道。本文采用中频磁控溅射法在硅基上制备了较薄的优质 AlN 压电薄膜, 所得 AlN 压电薄膜用于制作 X 波段 FBAR 器件的工艺中, 并成功研制出 X 波段 FBAR 器件。

1 实验

采用 6 英寸(1 英寸=2.54 cm)(100) 硅单晶片为 衬底 材料,溅射前使用 H_2SO_4 和 H_2O_2 ($V(H_2SO_4):V(H_2O_2)=4:1$ (体积比)) 漂洗 10 min, HF 酸($V(HF):V(H_2O)=1:100$) 漂洗 1 min, 冲水甩干后入腔室溅射。采用射频等离子清洗基片,采用磁控溅射法制作底电极 Mo 薄膜,靶材为高纯钼靶(99.99%(原子数比)),超纯氩气(99.9999%)作为溅射气体。采用中频磁控溅射法制作 AlN 种子层薄膜和 AlN 压电薄膜,靶材为高纯铝靶(99.999%),超纯氩气和氮气(99.9999%)作为溅射气体。制作了 AlN(压电层)/Mo(底电极)/AlN(种子层)/Si 基结构的 AlN 复合压电薄膜。

实验中,使用 D8 DISCOVER 型 X 线衍射仪 (XRD)分析 Mo 和 AlN 薄膜的晶体结构和择优取向;采用 FLX-2320S 型应力测试仪测试薄膜应力;采用 F-50 型光反射式膜厚测试仪测试了 AlN 压电薄膜膜厚;采用微波探针台测试 X 波段 FBAR 器件的电性能指标。

2 结果及讨论

2.1 AIN 蓮膜性能分析

在硅片上制作了厚 176 nm 的 AlN 压电薄膜,测试了 AlN 薄膜的厚度,共测试了 97 点,膜厚分布如图 1 所示。由图可看出, AlN 膜厚平均值为 176.1 nm,膜厚均匀性为 0.32%(1 σ ,即 1 个标准偏差), AlN 薄膜具有良好的膜厚均匀性。

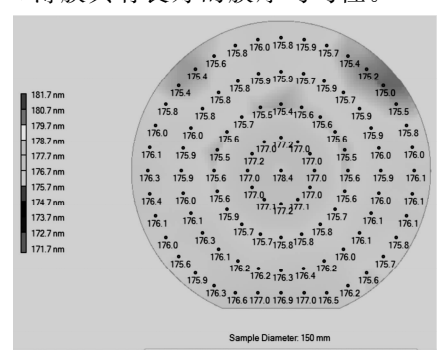


图 1 AlN 薄膜厚度分布图

在硅片上制作了 Mo 底电极和厚 176 nm 的 AlN 压电层,膜层结构为 AlN(压电层)/Mo(底电极)/AlN(种子层)/Si 基。对样品进行了 XRD 分析,图 2、3 分别为 Mo 薄膜(110)面和 AlN 薄膜(002)面的 XRD 摇摆曲线。由图可看出,Mo 薄膜摇摆曲线的半峰宽为 1.65°,AlN 薄膜摇摆曲线半峰宽为 2.21°。通过 AlN 种子层诱导 Mo(110)取向的生长,Mo 薄膜具有良好的择优取向。Mo(110)取向的压电薄膜,AlN 薄膜也呈现出良好的 c 轴择优取向,其 c 轴择优取向度能满足 X 波段 FBAR 器件的要求。

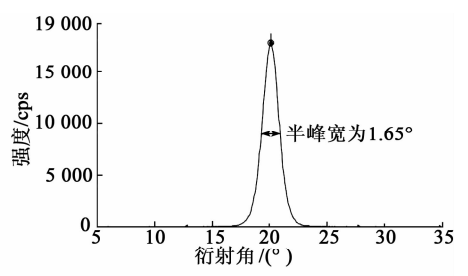


图 2 Mo 薄膜(110)面 XRD 摇摆曲线

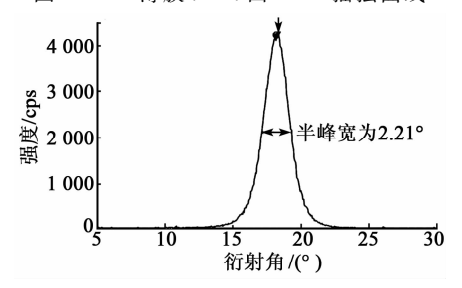


图 3 AlN 薄膜(002)面 XRD 摇摆曲线

AlN 薄膜的应力是 AlN 薄膜的另一个重要性能参数,如果薄膜应力过大,会导致基片发生变形、空气腔结构破裂甚至塌陷。因此,在保证 AlN 压电薄膜高压电性能的同时,需要减小薄膜的应力,提高器件性能和可靠性。图 4 为 Mo(底电极)/AlN(种子层)/Si 基上制作的 AlN 压电薄膜应力测试图。由图 5 可看出,AlN 薄膜应力仅为一5.02 MPa,生长的 AlN 薄膜应力很小。AlN 薄膜应力可通过溅射气体氩气的流量进行调整。图 5 为氩气流量对AlN 薄膜应力的影响图。由图 5 可见,随着氩气流量的增加,AlN 薄膜应力从压应力向张应力变化,AlN 薄膜应力和氩气流量几乎呈线性关系,AlN 薄膜应力可控。根据实际工艺需要可对 AlN 薄膜应力进行调节。

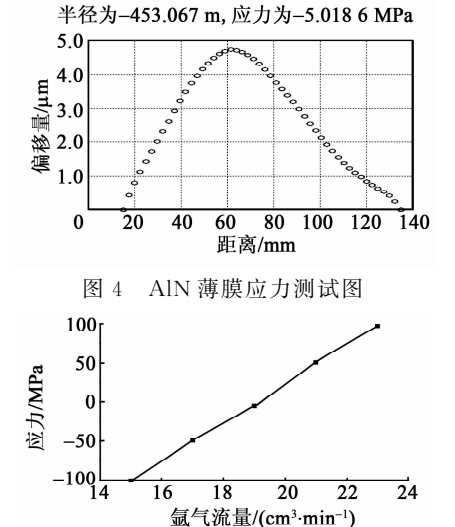


图 5 氩气流量对 AlN 薄膜应力的影响

2.2 X波段 FBAR 器件的制作

采用厚 $150\sim200$ nm 的 AlN 压电薄膜,在硅基上制作了 X 波段 FBAR 器件,其结构示意图如图 6 所示。

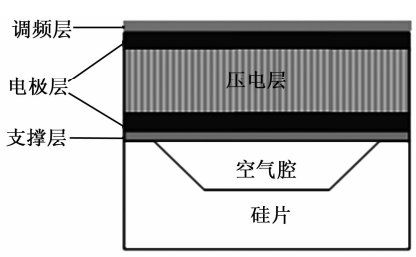


图 6 FBAR 结构示意图

图 7 为 X 波段 FBAR 器件电性能测试曲线。 器件谐振频率为 9.09 GHz,插入损耗为一0.38 dB。 FBAR 器件频率已达 X 波段,插入损耗小,具有良好的电性能,满足应用需求。

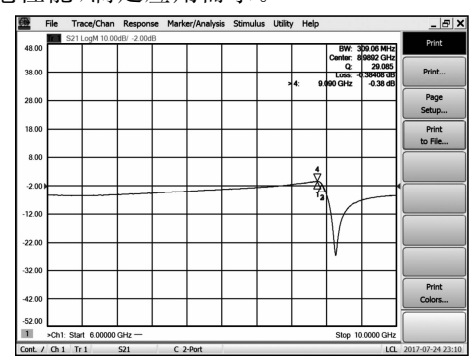


图 7 FBAR 器件频率响应曲线

3 结束语

本文采用中频磁控溅射法对 X 波段 FBAR 用

AlN 薄膜制备技术进行了研究,获得了 X 波段 FBAR 用较薄的优质 AlN 压电薄膜。AlN 压电薄膜的性能分析结果表明,AlN 膜厚均匀性为 0.32% (1σ) ,AlN 薄膜摇摆曲线半峰宽为 2.21° ,AlN 薄膜应力为-5.02 MPa,薄膜应力可调。制作的 AlN 压电薄膜应用于 X 波段 FBAR 器件,成功研制出 X 波段 FBAR 器件。

参考文献:

- [1] 江洪敏,马晋毅,汤劲松,等. 2.8 GHz 薄膜体声波谐振器的研究[J]. 压电与声光,2010,32(1):1-2. JIANG Hongmin, MA Jinyi, TANG Jinsong, et al. Study on 2.8 GHz thin film bulk acoustic resonator [J]. Piezoelectrics & Acoustooptics,2010,32(1):1-2.
- [2] 杜波,马晋毅,蒋欣,等. 薄膜体声波谐振器有限元仿真与设计[J]. 压电与声光,2016,38(4):531-534.

 DU Bo, MA Jinyi, JIANG Xin, et al. Finite element simulation and design of film bulk acoustic wave resonators[J]. Piezoelectrics & Acoustooptics,2016,38 (4):531-534.
- [3] JAMNEALA T, BRADLY P, SHIRAKAWA A, et al. An Investigation of Lateral Modes in FBAR Resonators[J]. IEEE Ultrasonics, Ferroelectrics and Frequency Control, 2016,63(5):778-789.
- [4] WANG Y Q, FENG C, LAMERS T, et al. FBAR Resonator figure of merit Improvements [C]//San Diego, California, USA: IEEE International Ultrasonics Symposium Proceedings, 2010:861-863.
- [5] YAO H H, LIN C F, KUO H C. MOCVD growth of AlN/GaN DBR structures under various ambient conditions [J]. Journal of Crystal Growth, 2004, 262: 151-156.
- [6] 张霞,陈同来,李效民. Si(100)衬底上 PLD 法制备高 取向度 A1N 薄膜[J]. 无机材料学报,2005,20(2): 419-424. ZHANG Xia,CHEN Tonglai,LI Xiaomin. Highly-ori-
 - ZHANG Xia, CHEN Tonglai, LI Xiaomin. Highly-oriented AlN thin films on Si(100) substrates by pulsed laser deposition [J]. Journal of Inorganic Materials, 2005,20(2):419-424.
- [7] 陈运祥,董家和,司美菊,等. FBAR 用氮化铝压电薄膜研究[J]. 压电与声光,2015,37(6):934-936.
 CHEN Yunxiang, DONG Jiahe, SI Meiju, et al. Study on aluminum nitride films used for FBAR devices[J]. Piezoelectrics & Acoustooptics,2015,37(6):934-936.